

ORIGINAL ARTICLE

Kinetics Study on Adsorption of Three Azo Dyes (Reactive Red 198, Cationic Red GTL 18 and Cationic Red GRL 46) by Zeolite Clinoptilolite

Ramezanali Dianati Tilaki¹,
Sepideh Kavyani²,
Seyyed Karim Hassani Nejad-Darzi³,
Jamshid Yazdani Cahrati⁴

¹ Department of Environmental Health Engineering, Faculty of Health, Health Sciences Research Center, Mazandaran University of Medical Sciences, Sari, Iran

² MSc Student in Environmental Health Engineering, Faculty of Health, Mazandaran University of Medical Sciences, Sari, Iran

³ Assistant Professor, Department of Chemistry, Faculty of Science, Babol University of Technology, Babol, Iran

⁴ Associate Professor, Department of Biostatistics, Faculty of Health, Health Sciences Research Center, Mazandaran University of Medical Sciences, Sari, Iran

(Received April 19, 2014; Accepted October 19, 2014)

Abstract

Background and purpose: Adsorption processes are widely used in removing pollutants from waste waters, particularly those that are not easily biodegradable such as dyes. In this study natural zeolite, which is easily found in many places, was used as a low-cost adsorbent for removal of dye from effluents.

Materials and methods: Adsorption of Azo dyes including two basic and one reactive (Reactive Red 198(RR-198), Cationic Red GTL (BR-18) and Cationic Red GRL(BR-46)) were studied by natural zeolite clinoptilolite. In batch experiments we evaluated sorbent dose, contact time, concentration of dyes and ph. The adsorption isotherm was also determined using the adsorption data. Kinetics of dye adsorption by zeolite was also studied. The remaining concentration of dyes was measured by spectrophotometer.

Results: Increase in sorbent dose and contact time increased adsorption rate. Optimal contact times for BR-18, RR-198 and BR-46 were 90, 90 and 120 minutes, respectively. By increasing the sorbent does for basice dyes, adsorption efficiency increased up to 99 percent. The best pH for basic dyes was found to be 9. The adsorption rate increased by decrease in dye concentration. It was found that adsorption isotherms for the examined three dyes fitted to the Langmuir isotherm. The kinetic studies indicated that the adsorption for dyes followed the pseudo-second-order.

Conclusion: Results indicate that clinoptilolite has good adsorption capacity for basic dyes. Natural zeolite is found easily in many places and could be used as acceptable and affordable for decontamination applications.

Keywords: Zeolite, textile dye, reactive dye, surface adsorption

J Mazandaran Univ Med Sci 2014; 24(118): 158-169 (Persian).

بررسی کارایی زئولیت کلینوپتیلوایت در جذب رنگ‌های آزو، ری اکتیو رد ۱۹۸ [RR-18]، بازیک رد ۱۸ [BR-18] و بازیک رد ۴۶ [BR-46]: تعیین سینتیک و ایزوترم جذب

رمضانعلی دیانتی تیلکی^۱

سپیده کاویانی^۲

سید کریم حسنی نژاد درزی^۳

جمشید یزدانی^۴

چکیده

سابقه و هدف: تکنیک‌های جذب سطحی به طور گسترده برای حذف آلودگی‌ها از فاضلاب به کار می‌روند به خصوص آن دسته از آلاینده‌هایی که به آسانی قابل تجزیه بیولوژیکی نیستند از جمله رنگ‌ها. زئولیت‌های طبیعی نیز به عنوان یک جاذب کم هزینه و قابل دسترسی زیاد و آسان می‌توانند برای حذف رنگ از پساب رنگی مورد استفاده قرار گیرد.

مواد و روش‌ها: در این مطالعه جذب سطحی سه نوع رنگ آزو شامل، دو رنگ کاتیونی BR-18، BR-46 و یک رنگ ری اکتیو RR-198 به وسیله کلینوپتیلوایت با انجام آزمایشات ناپوسه مورد مطالعه قرار گرفت. تأثیر عواملی چون میزان دوز جاذب، غلظت اولیه رنگ، pH و زمان جذب مورد بررسی قرار گرفت. با استفاده از داده‌های حاصل از آزمایشات، ایزوترم و سنتیک جذب تعیین گردید. اندازه گیری غلظت رنگ باقیمانده بر اساس روش استاندارد با استفاده از دستگاه اسپکتروفتومتر انجام شد.

یافته‌ها: با افزایش زمان تماس و دوز جاذب، میزان جذب رنگ‌ها افزایش یافت. برای رنگ‌های 18-BR و 198-RR زمان تماس بهینه ۹۰ دقیقه و برای رنگ 46-BR زمان تماس بهینه ۱۲۰ دقیقه به دست آمد. با افزایش دوز جاذب برای رنگ‌های کاتیونی، راندمان حذف تا ۹۹ درصد افزایش یافت. بهترین pH برای حذف رنگ‌های کاتیونی برابر ۹ به دست آمد. با کاهش غلظت رنگ‌ها، میزان حذف افزایش یافت. هم چنین ایزوترم جذب در هر سه رنگ از معادله لانگ موئیر تعیت نموده و سرعت جذب نیز، سنتیک جذب شبه درجه دو به دست آمد است.

استنتاج: زئولیت برای حذف رنگ‌های کاتیونی بسیار موثر است. با توجه به ارزان قیمت بودن و دسترسی آسان استفاده از این زئولیت برای حذف کامل رنگ‌های کاتیونی توجیه پذیر است.

واژه‌های کلیدی: زئولیت، رنگ نساجی، جذب سطحی

مقدمه

رنگ یکی از آلاینده‌های مهم در فاضلاب به شمار می‌رود زیرا اثرات نا مطلوبی در آب ایجاد می‌کند، از ورود نور به آب جلوگیری کرده که این امر سبب جمله با جذب و انعکاس نور خورشید توسط رنگ‌ها از

- مؤلف مسئول: سپیده کاویانی** - ساری: کیلومتر ۱۷ جاده خزرآباد، مجتمع دانشگاهی پامبر اعظم، دانشکده بهداشت دانشیار، گروه مهندسی بهداشت محیط، مرکز تحقیقات علوم بهداشتی، دانشکده بهداشت، دانشگاه علوم پزشکی مازندران، ساری، ایران
- ۱. دانشجوی کارشناسی ارشد مهندسی بهداشت محیط، دانشکده بهداشت، کمیته تحقیقات دانشجویی، دانشگاه علوم پزشکی مازندران، ساری، ایران**
- ۲. استادیار، دانشکده علوم پایه، دانشگاه صنعتی بابل، بابل، ایران**
- ۳. استادیار، دانشکده علوم پایه، دانشگاه علوم پزشکی مازندران ساری، ایران**
- ۴. استادیار، دانشکده بهداشت گروه آمارزیستی و مرکز تحقیقات علوم بهداشتی دانشگاه علوم پزشکی مازندران ساری، ایران**
- تاریخ دریافت: ۱۳۹۲/۱/۳۰ تاریخ ارجاع جهت اصلاحات: ۱۳۹۳/۶/۲۳ تاریخ تصویب: ۱۳۹۳/۷/۲۷

الیاف می باشد(۱۲). لذا این رنگ ها مورد مطالعه قرار گرفت. در این مقاله، جذب رنگ های آزو شامل دو رنگ بازیک و یک رنگ ری اکتیو به وسیله کلینوپتیلو لايت با انجام يك سری آزمایشات مورد مطالعه قرار گرفت و تأثیر میزان دوز جاذب، لطف اولیه رنگ، pH و زمان جذب نیز آنالیز شد. هم چنین ایزو ترم جذب و سیستیک جذب برای هر دو رنگ محاسبه شد.

مواد و روش ها

مواد مصرفی

سه نوع رنگ آزو شامل، دو رنگ کاتیونی و یک رنگ ری اکتیو برای این تحقیق انتخاب شد که عبارتند از (GRL(BR-46)، Cationic Red 198(RR-198) و GTL(BR-18) Reactive Red. هر سه رنگ از شرکت الوان ثابت همدان تهیه گردید. برخی از خصوصیات این سه رنگ همراه با ساختار مولکولی شان و هم چنین طول موج ماکریم جذب هر رنگ در جدول شماره ۱ آورده شده است(۱۳-۱۵). اسید و باز مورد نیاز از شرکت مرک آلمان تهیه شد.

مشخصات و طریقه آماده سازی جاذب

کلینوپتیلو لايت مورد استفاده در این تحقیق متعلق به معدن سمنان است. وزن مشخصی از کلینوپتیلو لايت مورد نظر چند بار با آب مقطر شسته و در دمای ۱۰۵ درجه سانتی گراد خشک گردید. سپس اندازه (مش) ذرات کلینوپتیلو لايت مورد آزمایش با استفاده از شیکر الک تعیین و اندازه مش $10 \times 10 \times 18$ (۱۶، ۱۷). تعیین نقطه می داد. در این آزمایش انتخاب شد(۱۶، ۱۷). تعیین نمک صفر بار (pH_{PZC}): برای تعیین مقدار pH_{PZC} جاذب کلینوپتیلو لايت ابتدا محلول ۰/۱ نرمال نمک طبیعی تهیه شد. در ۶ ارلن به حجم ۱۰۰ سی سی به میزان ۵۰ سی سی از این محلول ریخته شد و هر یک از رلن ها با استفاده از سود و اسید کلریدریک به pH های بین ۲ تا ۱۲ رسید. سپس مقدار ۲ گرم از جاذب به همه ارلن ها

تداخل در رشد باکتری ها و مانع فتوسنتز گیاهان آبی می شود و نیز COD آب را افزایش می دهد(۱). سمیت ذاتی بعضی رنگ ها اثرات زیان باری بر روی ماهی ها و میکرووار گانیسم ها داشته و حتی باعث مرگ شان نیز می شود. دسته دیگر رنگ ها نیز سبب اگرامی پوستی و سرطان در انسان می شود(۲، ۳) روش های مختلفی برای حذف رنگ وجود دارد از جمله تحقیقی نشان می دهد که در سیستم تلفیقی لجن فعال و کواگولا سیون با استفاده از ماده منعقد کننده پلی آلومینیوم کلراید برای تصفیه مخلوط فاضلاب شهری و کارخانه نساجی، تنها ۲۰ درصد حذف رنگ رخ داده است(۴). در بررسی دیگری با استفاده از روش تلفیقی کواگولا سیون با استفاده از پلی آلومینیوم کلراید و فلو تاسیون برای تصفیه فاضلاب کارخانه نساجی راندمان ۳۵ درصد در حذف رنگ به دست آمده است(۵). روش ازن زنی یک روش کارآمد برای حذف رنگ به خصوص برای جلادهی پساب رنگی صنعت نساجی که مراحل تصفیه مقدماتی و بیولوژیکی را پشت سر گذاشته است با راندمان بیش از ۹۰ درصد معرفی شده است(۶). به هر حال همه این روش ها یک یا چند محدودیت دارند و هیچ یک از فرایندهای ذکر شده نمی توانند به صورت کامل رنگ را از فاضلاب حذف کنند(۷). در این میان جذب فرآیند جداسازی موثر و جذابی برای حذف آلدگی های غیر قابل تجزیه بیولوژیکی از جمله رنگ ها از فاضلاب می باشد(۸). در بیش تر فرایندهای جذب از کربن فعال استفاده می گردد ولی به علت گرانی در تولید آن صرفه اقتصادی پایینی دارد(۸، ۷). زئولیت های طبیعی بسیار زیاد و به آسانی قابل دسترس بوده و نیز ارزان می باشند. زئولیت ها برای حذف بسیاری از آلاینده ها از جمله رنگ، یون های آمونیوم و فلزات سنگین از محلول های آبی به کار برده شده اند(۹-۱۱). رنگ های گروه آزو از جمله ری اکتیو و کاتیونی به طور وسیعی در صنایع نساجی مورد استفاده قرار می گیرند که این به علت خصوصیاتی از جمله، انحلال آسان در آب، ایجاد رنگ های روشن، ارزانی تولید و هم چنین مناسب برای

جدول شماره ۱: ساختار ملکولی و خصوصیات شیمیایی رنگ‌های مورد استفاده (۱۳-۱۵).

λ_{MAX}	گروه	وزن مولکولی	فرمول شیمیایی	ساختار شیمیایی	نام رنگ
۵۳۲ nm	Basic (Single azo class)	۴۰۱۳	C ₁₈ H ₂₁ BrN ₆		Cationic Red GRL (BR-46)
۴۹۰ nm	Basic (Single azo class)	۴۲۶.۴۴	C ₁₉ H ₂₅ Cl ₂ N ₅ O ₂		Cationic Red GTL (BR-18)
۵۱۹ nm	Reactive (Single azo class)	۴۸۴.۷	C ₂₇ H ₁₈ ClN ₇ Na ₄ O ₁₆ S ₅		ReactiveRed198 (RR-198)

BR-18، RR-198 و BR-46 به ترتیب ۵۱۹، ۴۹۰ و ۵۳۲ نانومتر بود. هم چنین ضرایب همبستگی مربوط به منحنی استاندارد برای هر سه رنگ، BR-18، RR-198 و BR-46 به ترتیب برابر ۰/۹۹۷، ۰/۹۹۵ و ۰/۹۹۸ بوده است. میزان pH‌های مختلف به وسیله HCl و NaOH محاسبه شده با استفاده از معادله شماره ۱ انجام گردید.

محاسبه شده:

$$q_e = \frac{(C_t - C_e) \times V}{m} \quad (1)$$

که در این فرمول q_e میزان رنگ جذب شده به ازای گرم جاذب با واحد میلی گرم بر گرم است. C_t و C_e به ترتیب غلظت اولیه و غلظت نهایی رنگ با واحد میلی گرم بر لیتر هستند. V حجم محلول با واحد لیتر و m جرم جاذب بر حسب گرم است. با استفاده از معادله شماره ۲ نیز درصد حذف محاسبه می‌شود:

$$R(\%) = \frac{C_t - C_e}{C_t} \times 100 \quad (2)$$

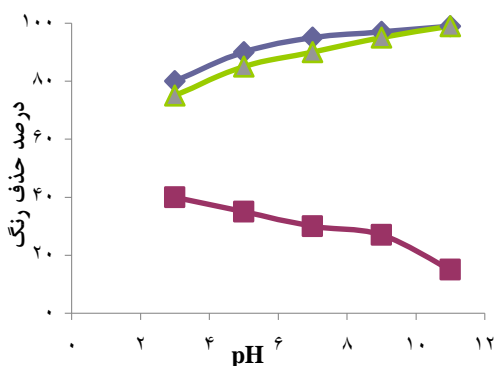
از آنجا که در مطالعات انجام شده توسط دیگر محققان، غلظت رنگ در پساب نساجی در محدوده ۱۰ تا ۲۰۰ میلی گرم بر لیتر گزارش شده لذا در این تحقیق گستره غلظت اولیه رنگ ۱۰، ۲۰، ۴۰، ۶۰، ۸۰، ۱۰۰، ۲۰۰ میلی گرم بر لیتر در نظر گرفته شد و هم چنین گستره pH بین ۳ تا ۱۱ مورد مطالعه قرار گرفت.^(۱۹) هم چنین زمان‌های تماس بنابر سایر مقالات در محدوده ۱۵،

۱۸، ۲۰ و ۲۲ دور بر دقیقه به مدت ۴۸ ساعت قرار داده شد و سپس ارلن‌ها از روی همزن برداشته و صاف شد، pH ارلن‌ها قرائت شد و نمودار pH‌های اولیه نسبت به pH نهایی رسم شد.^(۱۸)

روش آزمایش

آزمایشات جذب در سیستم ناپیوسته انجام گرفت. فاکتورهای موثر بر انجام فرآیند مورد مطالعه شامل pH، مقدار جاذب، زمان تماس، غلظت رنگ در مراحل جداگانه بررسی شد. به طوری که در هر یک از آزمایشات، غیر از فاکتور مورد آزمایش دیگر فاکتورها ثابت در نظر گرفته شد. همه آزمایشات در دو نوبت تکرار شد و میانگین آن‌ها به عنوان نتایج نهایی گزارش گردید. پس از تثیت شرایط با تعیین اثر هر یک از متغیرها در هر مرحله بر فرآیند جذب، عملیات نمونه برداری صورت می‌گیرد. تعداد نمونه‌ها با استفاده از روش بهینه تعیین شد و برای تجزیه و تحلیل داده‌ها از Microsoft Excel 2010 و نرم افزار SPSS(19) استفاده شد. برای آنالیز آماری از روش رگرسیون چند متغیره استفاده شد. غلظت رنگ‌ها با استفاده از منحنی کالیبراسیون با اندازه گیری میزان جذب نور مربوط به هر محلول در طول موج مربوط به حداکثر جذب به وسیله دستگاه اسپکتروفوتومتر مرئی مدل WAP انجام شد. طول موج مربوط به حداکثر جذب برای رنگ‌های

(BR-18 و BR-46)، میزان جذب توسط زئولیت طبیعی در pH های اسیدی کم تر است ولی pH های اسیدی باعث جذب بالاتری برای رنگ ری اکتیو (RR-198) شد. آنالیز داده ها با استفاده از رگرسیون خطی ارتباط معنی دار بین تغییر pH با درصد حذف رانشان داد. به ازای یک واحد انحراف معیار در متغیر مستقل (pH)، درصد حذف رنگ BR-46 و BR-18 به ترتیب ۰/۹۳ و ۰/۹۷ افزایش یافت و برای رنگ RR-198، به میزان ۰/۹۶ کاهش نشان داد.



نمودار شماره ۲: درصد حذف رنگ های RR-198، BR-18 و BR-46 در pH های مختلف در زمان تماس ۱۲۰ دقیقه و دوز جاذب ۲۰ گرم بر لیتر و غلظت اولیه رنگ ۲۰ میلی گرم بر لیتر

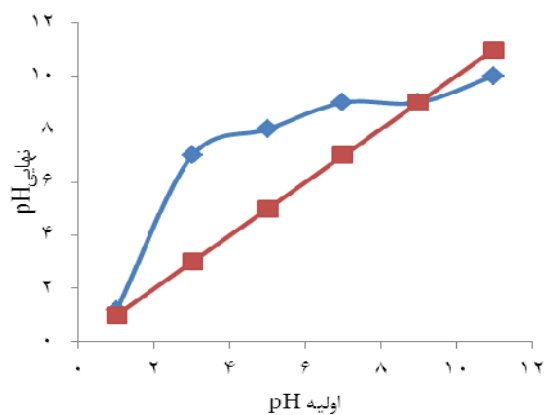
تأثیر دوز جاذب

آزمایشات جذب در سیستم مورد مطالعه با تغییر در غلظت اولیه جاذب (۱، ۱۰، ۵، ۳۰، ۲۰، ۴۰ و ۵۰ گرم بر لیتر) در pH=۷ و غلظت اولیه ۲۰ میلی گرم بر لیتر رنگ برای هر سه رنگ در زمان تماس ۱۲۰ دقیقه بررسی شد. نمودار شماره ۳ اثر دوز جاذب بر روی کارایی حذف رنگ را نشان می دهد. همان طور که مشاهده می شود با افزایش دوز جاذب از ۱ به ۳۰ گرم بر لیتر، درصد حذف برای رنگ های RR-198، BR-18 و BR-46 به ترتیب از ۱۰ و ۹ درصد به ۳۳ و ۹۷ و ۹۷ درصد افزایش نشان داد. حداقل دوز جاذب برای دو رنگ بازیک (BR-18 و BR-46)، ۴۰ گرم بر لیتر و برای رنگ ری اکتیو (RR-46)، ۳۰ گرم بر لیتر به دست آمد. آزمون رگرسیون برای داده های آزمایش ارتباط

۱۲۰ دقیقه و دوز جاذب در گستره ۰/۵ تا ۵۰ گرم لیتر مورد آزمایش قرار گرفت (۲۰، ۱۶). در طی زمان جذب سیستم رنگ جاذب، به وسیله دستگاه Roller Mixer با سرعت ۱۵۰ دور بر دقیقه هم زده شد و سپس با دستگاه ساتریفوژ با سرعت ۲۰۰۰ دور بر دقیقه صاف شد. تمام آزمایشات در دمای معمولی (۲۵ درجه سانتی گراد) انجام شد.

یافته ها

نقطه صفر بار (pH_{PZC}) جاذب کلینوپتیلولات مقادیر pH های اولیه نسب به pH نهایی در نمودار شماره ۱ آورده شده است. نقطه تلاقي این خط با خط صاف نقطه صفر بار جاذب کلینوپتیلولات می باشد که با توجه به نمودار مربوط، مقدار pH_{PZC} برابر ۹ می باشد که این مقدار با مطالعه Uttapan و همکاران مطابقت دارد (۲۱). البته لازم به ذکر است که بسته به این که کاتیون غالب متصل به زئولیت کلینوپتیلولات چه باشد، میزان pH_{PZC} نیز با هم متفاوت می باشد (۲۲).

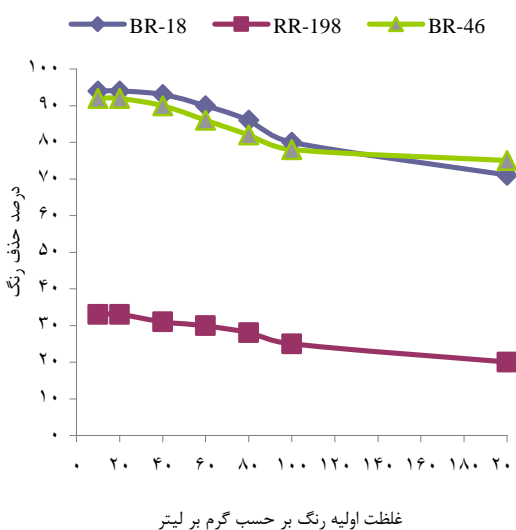


نمودار شماره ۱: تعیین pH_{PZC} برای جاذب کلینوپتیلولات

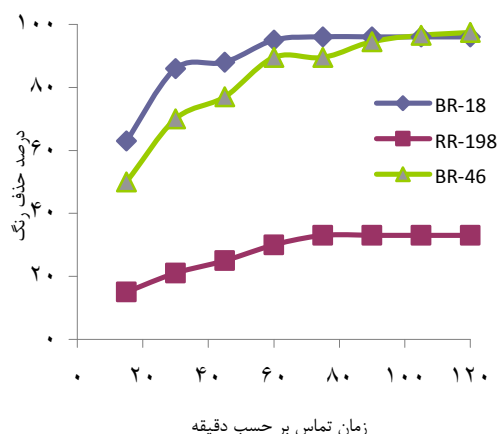
تأثیر pH

در نمودار شماره ۲ میزان جذب رنگ با غلظت اولیه ۲۰ میلی گرم بر لیتر توسط زئولیت طبیعی در ۵ مقدار متفاوت از pH (۱۱ و ۹/۷، ۵/۳) در زمان تماس ۱۲۰ دقیقه و میزان دوز جاذب ۲۰ گرم بر لیتر، برای هر سه رنگ نشان داده شده است. برای رنگ های کاتیونی

رنگ ۲۰ میلی گرم بر لیتر و دوز جاذب ۴۰ گرم بر لیتر برای هر سه رنگ نشان داده شده است. به طور کلی با افزایش زمان جذب، میزان جذب رنگ توسعه زئولیت طبیعی به صورت کاملاً مشخصی افزایش می‌یابد. برای رنگ‌های ۱۸-RR و ۱۹۸-ZR زمان تماس بهینه ۹۰ دقیقه به دست آمد و برای رنگ ۴۶-ZR تا زمان ۱۲۰ دقیقه افزایش میزان جذب ادامه داشت.

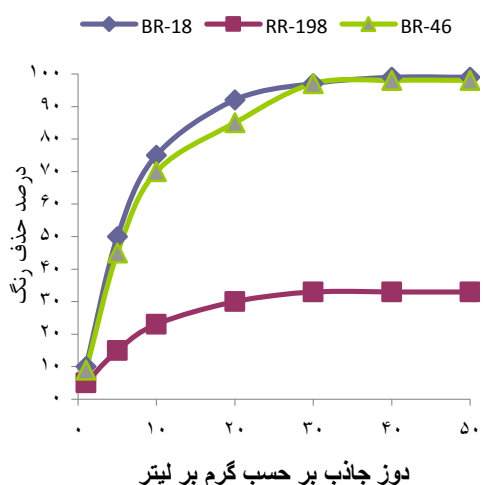


نمودار شماره ۴: درصد حذف رنگ‌های RR-198 و BR-18 و BR-46 در غلظت‌های اولیه مختلف در زمان تماس ۱۲۰ دقیقه و دوز جاذب ۴۰ گرم بر لیتر در pH=۷ خشی



نمودار شماره ۵: درصد حذف رنگ‌های RR-198 و BR-18 و BR-46 در زمان تماس‌های مختلف در pH=۷ و غلظت اولیه رنگ ۲۰ میلی گرم بر لیتر و دوز جاذب ۴۰ گرم بر لیتر

معنی دار بین افزایش دوز جاذب و درصد حذف رنگ را برای هر سه رنگ نشان داد (p<0.006).



نمودار شماره ۳: درصد حذف رنگ‌های RR-198 و BR-18 و BR-46 در دوزهای مختلف جاذب، زمان تماس ۱۲۰ دقیقه، در pH=۷ و غلظت اولیه رنگ ۲۰ میلی گرم بر لیتر

تأثیر غلظت اولیه رنگ
تأثیر غلظت اولیه رنگ بر روی کارایی حذف در سیستم مورد مطالعه با تغییر در غلظت اولیه رنگ (۱۰، ۲۰، ۴۰، ۶۰، ۸۰، ۱۰۰، ۲۰۰ میلی گرم بر لیتر) در pH خنثی و غلظت جاذب ۴۰ گرم بر لیتر برای دو رنگ بازیک و ۳۰ گرم بر لیتر برای رنگ ریاکتیو تا زمان تعادل هر سه رنگ بررسی شد. با توجه به این که در این سری از آزمایشات غلظت رنگ تا ۲۰۰ میلی گرم بر لیتر افزایش داده شد، لذا حداقل دوز جاذب معنی ۴۰ گرم بر لیتر مورد آزمایش قرار گرفت. در نمودار شماره ۴ نتایج حاصل از آزمایشات آورده شده است. توجه به شکل با افزایش غلظت اولیه رنگ کارایی حذف کاهش می‌یابد.

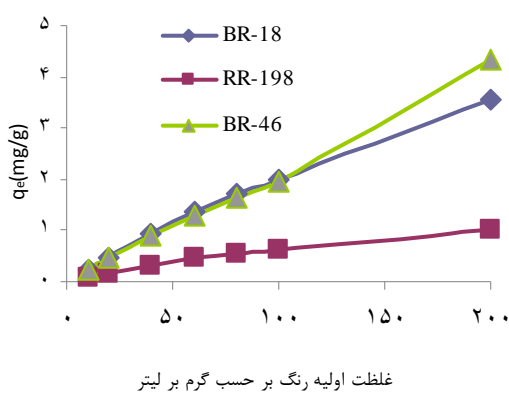
تأثیر زمان جذب

در نمودار شماره ۵ تأثیر زمان تماس بر روی کارایی حذف با تغییر زمان‌های تماس (۱۵، ۳۰، ۴۵، ۶۰، ۷۵، ۹۰، ۱۰۵ و ۱۲۰ دقیقه) در pH=۷، غلظت اولیه

آنالیز ایزوترم جذب

داده‌های جذب معمولاً با مدل‌های مختلفی مطابقت می‌کند اما بیشتر جذب‌ها با ایزوترم لانگموئیر مطابقت دارند. معادله ایزوترم لانگموئیر به صورت معادله شماره ۳ بیان می‌شود:

$$\frac{q_e}{q_m} = \frac{b_L c_e}{1 + b_L c_e} \quad (3)$$



غلظت اولیه رنگ بر حسب گرم بر لیتر

نمودار شماره ۶: میزان رنگ جذب شده به ازای یک گرم جاذب در غلظت‌های اولیه مختلف رنگ (pH=۷)، در زمان تماس ۱۲۰ دقیقه و دوز جاذب ۴۰ گرم بر لیتر.

سینتیک جذب

سینتیک جذب با مدل‌های سینتیک شبه درجه یک و شبه درجه دو مورد بررسی قرار گرفت. معادله سینتیک شبه درجه یک به صورت معادله شماره ۴ بیان می‌شود که با یک انگرال گیری معادله ۵ حاصل می‌گردد.

$$\frac{dq_e}{dt} = k_1 (q_s - q_t) \quad (4)$$

$$\ln\left(1 - \frac{q_t}{q_s}\right) = -k_1 t \quad (5)$$

که در این معادلات q_t و q_s به ترتیب ظرفیت جذب در حالت تعادل و در زمان t بوده و k_1 ضریب سرعت می‌باشد که از رسم نمودار $\ln\left(\frac{q_s}{q_t}\right)$ در مقابل t به دست می‌آید.

هم چنین سینتیک جذب شبه درجه دو به صورت معادله شماره ۶ بیان می‌شود که با انگرال گیری معادله ۷ حاصل می‌شود که برای تعیین مقدار q_t از رسم نمودار $\frac{t}{q_t}$ در مقابل t استفاده می‌شود. با توجه به محاسبات انجام شده سینتیک جذب از نوع شبه درجه دو بوده که ضرایب ثابت و ضریب همبستگی سینتیک شبه درجه یک و دو به ترتیب در جداول شماره ۴ و ۵ آمده است.

$$\frac{dq_t}{dt} = k_2 (q_s - q_t)^2 \quad (6)$$

$$\frac{t}{q_t} = \frac{1}{k_2 q_s^2} + \frac{1}{q_s} t \quad (7)$$

که در این معادله q_t غلظت بهینه فاز جامد با واحد میلی گرم بر گرم است. q_m نیز غلظت جذب ماکریسم با واحد میلی گرم بر گرم می‌باشد. b_L محتوای جذب با واحد لیتر بر میلی گرم و هم چنین c_e غلظت فاز مایع بهینه است که واحد آن میلی گرم بر لیتر می‌باشد. برای رنگ BR-46 زمان تعادل ۱۲۰ دقیقه در نظر گرفته شد و برای رنگ 18-BR و 198-BR زمان تعادل ۹۰ دقیقه به دست آمد زیرا بعد از این زمان تغییرات میزان جذب بسیار اندک و ناچیز بود. با استفاده از معادله شماره ۳ و هم چنین داده‌های نمودار شماره ۶، پارامترهای لازم در معادله ایزوترم لانگموئیر برای هر سه سیستم رنگ، کلینوپتیلوایت محاسبه شد. سپس با استفاده از نرم افزار Excel 2010 (جدول شماره ۲ میزان R^2 برای هر سه رنگ محاسبه شد. بر طبق نتایج حاصل از R^2 ، می‌توان مشاهده کرد که برای هر سه سیستم رنگ-زنولیت طبیعی (در دمای ۲۵ درجه سانتیگراد، pH=7) و غلظت جاذب ۴۰ گرم بر لیتر، بین داده‌های آزمایشات و داده‌های تئوریکی مطابقت بسیار خوبی وجود دارد. برای رنگ BR-46 مقدار q_m و b_L به ترتیب برابر است با ۳/۱۲ و ۰/۱۱ و برای رنگ BR-18 این مقادیر به ترتیب ۰/۰۶ و ۰/۱۸ و نیز برای رنگ RR-198 مقادیر به ترتیب ۰/۱۲ و ۰/۰۰۶ به دست آمد. در جدول شماره ۳ مقادیر محاسبه شده از داده‌های جذب برای مدل ایزوترمی فرونالیچ آورده شده است که با مقایسه ضرایب رگرسیون دو ایزوترم مربوط مشخص شد که ایزوترم جذب برای هر سه رنگ، با ایزوترم لانگموئیر مطابقت دارد.

ساختار کاتیونی این دو رنگ و pH_{PZC} کلینوپتیلوالایت است. با توجه به نمودار شماره ۱ نقطه صفر بار کلینوپتیلوالایت ۹ است یعنی در pHهای کوچک تر از این مقدار، میزان بار مثبت بیشتر است (محیط اسیدی است). در نتیجه برای رنگ‌هایی مانند BR-18 و BR-46 که بار الکتریکی آن‌ها مثبت است، دفع الکتروستاتیکی افزایش می‌یابد و راندمان جذب کاهش می‌یابد ولی با افزایش pH بالاتر از نقطه صفر بار نه تنها بار الکتریکی مثبت نیست بلکه برایند بار الکتریکی در این نقاط منفی است (محیط قلیایی است). در نتیجه رنگ‌های بازیک به آسانی جذب می‌شوند.^(۲۳). مطالعات Karadag و همکاران در سال ۲۰۰۷ نیز نشان داد که مقدار جذب رنگ کاتیونی BR-46 توسط جاذب زئولیت طبیعی با افزایش pH، افزایش یافت.^(۲۴).

هم‌چنین Wang و همکاران در سال ۲۰۰۶ تأثیر pH بر روی جذب رنگ متیلن بلو توسط کلینوپتیلوالایت را بررسی کرد که نتایج تحقیق با داده‌های به دست آمده از این مقاله مطابقت دارد.^(۲۵) اما در مورد رنگ ری اکتیو RR-198 با افزایش pH میزان جذب رنگ کاهش می‌یابد. این پدیده نیز به وسیله ساختار آئیونی این رنگ و نقطه صفر بار کلینوپتیلوالایت توجیه می‌شود. یعنی در pHهای پایین‌تر از نقطه صفر بار میزان H^+ در محیط افزایش می‌یابد و در نتیجه دفع الکتروستاتیکی بین جاذب و رنگ کاهش می‌یابد و راندمان جذب رنگ افزایش می‌یابد و در نقاط بالاتر از نقطه صفر بار عکس این قضیه رخ می‌دهد. این یافته‌ها با مطالعه Armagan و همکاران (۲۰۰۴) که بر روی جذب سه رنگ ری اکتیو آزو به وسیله کلینوپتیلوالایت بود، کاملاً مطابقت داشت.^(۹) در مجموع می‌توان این گونه توجیه کرد که کلینوپتیلوالایت و زئولیت‌ها و رزین‌های مشابه دارای بار سطحی منفی هستند و در نتیجه در pHهای بالاتر رنگ‌های بازیک و آلاینده‌های که بار سطحی مثبت دارند را به خوبی جذب می‌کنند و در pHهای اسیدی رنگ ری اکتیو (آئیونی است) را بهتر جذب می‌کند.^(۲۶، ۲۷)

هم‌چنین با افزایش دوز جاذب راندمان جذب افزایش

جدول شماره ۲: پارامترهای محاسبه شده برای مدل ایزوترمی لانگموئیر برای جذب سه رنگ BR-46، BR-18 و RR-198 به وسیله کلینوپتیلوالایت

ثابت‌های ایزوترمی لانگموئیر	ReactiveRed 198(RR-198)	Cationic Red GTL (BR-18)	Cationic Red GRL (BR-46)
q_m (mg/g)	۲,۱۲	۲,۷۷	۲,۱۲
b_L (L/mg)	۰,۰۰۶	۰,۱۸	۰,۱۱
R^2	۰,۹۹۳	۰,۹۹۷	۰,۹۹۵

جدول شماره ۳: پارامترهای محاسبه شده برای مدل ایزوترم فروندلیج برای جذب سه رنگ BR-46، BR-18 و RR-198 به وسیله کلینوپتیلوالایت

ایزوترم فروندلیج	ReactiveRed 198(RR-198)	Cationic Red GTL (BR-18)	Cationic Red GRL (BR-46)
q_m (mg/g)	۱,۹	۲,۵۶	۳,۰۱
R^2	۰,۷۹	۰,۹	۰,۸۴

جدول شماره ۴: ثابت سرعت واکنش و ضریب همبستگی سیتیک درجه یک برای جذب رنگ‌های BR-46، BR-18 و RR-198 به وسیله کلینوپتیلوالایت.

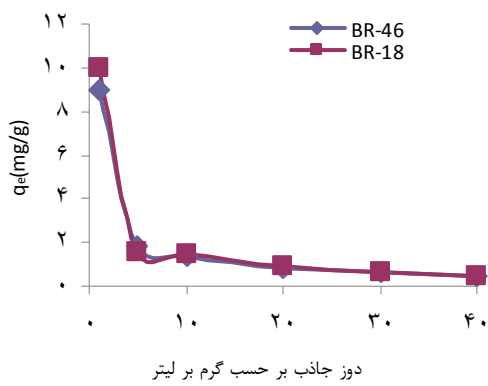
ثابت‌های سیتیک شبیه درجه یک	ReactiveRed 198(RR-198)	Cationic Red GTL (BR-18)	Cationic Red GRL (BR-46)
q_m (mg/g)	۰,۲۹	۰,۷۳	۰,۷۴
K_1 (L/min)	۰,۰۹	۰,۰۶۱	۰,۰۴۳
R^2	۰,۸۸	۰,۸۶۴	۰,۹۱

جدول شماره ۵: ثابت سرعت واکنش و ضریب همبستگی سیتیک شبیه درجه دو برای جذب رنگ‌های BR-46، BR-18 و RR-198 به وسیله کلینوپتیلوالایت

ثابت‌های سیتیک شبیه درجه دو	ReactiveRed 198(RR-198)	Cationic Red GTL (BR-18)	Cationic Red GRL (BR-46)
q_e (mg/g)	۰,۳	۰,۵۵	۰,۵۷
K_2 (L/mg)	۰,۱	۰,۱۸	۰,۰۹
R^2	۰,۹۹	۰,۹۹	۰,۹۹

بحث

در این مطالعه کارایی و پارامترهای مؤثر در جذب رنگ‌های کاتیونی و ری‌اکتیو توسط زئولیت طبیعی کلینوپتیلوالایت مورد بررسی قرار گرفت. یکی از پارامترهای مهم در حذف رنگ pH می‌باشد. همان‌گونه که در نتایج آمده است با افزایش pH میزان جذب رنگ برای دو رنگ کاتیونی افزایش داشته که این امر به دلیل



نمودار شماره ۷: میزان رنگ جذب شده به ازای یک گرم جاذب در دوزهای مختلف جاذب (pH = ۷)، در زمان تماس بهینه و غلظت اولیه رنگ ۲۰ میلی گرم بر لیتر)

با افزایش زمان تماس میزان جذب افزایش داشت. کاملاً مشهود است بیشتر جذب در ۶۰ دقیقه اول صورت گرفته و بعد از ۶۰ دقیقه، میزان افزایش جذب روندی کند داشته است. برای رنگ‌های RR-198 و BR-18 فرایند جذب در طول زمان ۹۰ دقیقه به تعادل رسیده است و بعد از این زمان میزان جذب ثابت ماند اما برای رنگ BR-46 تا زمان ۱۲۰ دقیقه در حال تغییر بود. هر چند که افزایش جذب به میزان بسیار اندکی بوده ولی با این حال زمان تعادل برای این رنگ ۱۲۰ دقیقه تعیین شد. Karadag و همکاران (۲۰۰۷) زمان بهینه برای حذف رنگ BR-46 توسط زئولیت را ۵۰ دقیقه به دست آورد و لی در مطالعه‌ای که توسط Wang و همکاران (۲۰۰۶) صورت گرفت این زمان تا ۴۰۰ دقیقه ادامه داشت که علت تفاوت در زمان تعادل این مطالعه با دیگر مقالات به تفاوت ساختاری و شرایط متفاوت در حذف رنگ بر می‌گردد و میزان خلل فرج و نیز ساختارهای متفاوت از کلینوپیتیلوالایت سرعت جذب را متفاوت می‌کند (۳۱، ۲۰، ۱۹). بین دو رنگ کاتیونی زمان تعادل برای رنگ BR-18 کمتر از رنگ BR-46 به دست آمد که می‌توان با توجه به ساختار شیمیایی رنگ‌ها که در جدول شماره ۱ آورده شده است این موضوع را به اندازه ملکولهای این دو رنگ نسبت داد (۲۵).

یافت. البته بعد از افزایش در دوزی خاص راندمان حذف ثابت شد. که این مقدار برای رنگ‌های بازیک ۴۰ گرم بر لیتر، ۴ درصد و برای رنگ ری اکتیو این مقدار برابر ۳۰ گرم بر لیتر، ۳ درصد بوده است. علت افزایش جذب با افزایش دوز جاذب در افزایش سطح فعال جذب در مقدار ثابتی از رنگ توجیه می‌شود. این مقادیر با مطالعات Armagan و همکاران در سال ۲۰۰۳ و ۲۰۰۴ که دوز جاذب بهینه را ۵ درصد به دست آورده بودند نسبتاً هم خوانی داشت (۲۸، ۹). ولی با مطالعه Han و همکاران در سال ۲۰۰۹ که مقدار بهینه کلینوپیتیلوالایت را ۶ گرم بر لیتر بدست آورده دارد، که این موضوع به علت تفاوت در سطح ویژه و خصوصیات کلینوپیتیلوالایت بوده است (۲۹). درست است که میزان جذب با افزایش دوز جاذب افزایش می‌یابد ولی میزان جذب رنگ به ازای یک گرم جاذب کاهش می‌یابد که این موضوع در نمودار شماره ۷ کاملاً مشهود است. علت این پدیده عدم اشباع کامل جاذب در دوزهای بالاتر می‌باشد. یعنی با افزایش دوز جاذب، همه نقاط فعال موجود در سطح جاذب به طور کامل مورد استفاده قرار نمی‌گیرد که نتایج مشابهی توسط Qui و همکاران در سال ۲۰۰۹ به دست آمد (۳۰). مشاهدات از بررسی تأثیر افزایش غلظت اولیه رنگ بیانگر کاهش میزان جذب بوده است. علت این امر این است که نقاط جذب جاذب محدود است و با افزایش میزان آلاینده (رنگ) مقدار سطح قابل دسترس نسبت به مقدار آلاینده‌ای که باید جذب شود، کمتر می‌شود. در نتیجه میزان جذب پایین می‌آید. با توجه به نمودار شماره ۶ هر چند با افزایش غلظت اولیه راندمان جذب کاهش می‌یابد، ولی میزان رنگ جذب شده به ازای هر گرم جاذب به طور چشمگیری افزایش می‌یابد که این به علت افزایش حضور زیاد آلاینده در مقدار ثابتی از جاذب می‌باشد که باعث می‌شود جاذب در حالت کاملاً اشباع رنگ را جذب کند. این پدیده در مطالعات Han و همکاران (۲۰۰۹) و ززولی و همکاران (۱۳۹۱) مشاهده شد (۲۹، ۲۰).

مطالعه انجام شده، غلظت بهینه جاذب و زمان تعادل و دوز جاذب بهینه برای هر سه رنگ تعیین گردید. کاملاً مشخص شد که کلینوپتیلوالایت یک جاذب طبیعی مؤثر برای رنگ‌های بازیک است. با افزایش pH، میزان جذب رنگ‌های بازیک توسط جاذب طبیعی کلینوپتیلوالایت افزایش و برای رنگ ریاکتیو کاهش نشان داد. بر طبق داده‌های جذب ایزوترم جذب برای هر سه رنگ از ایزوترم لانگ موئیر طبیعت کرده و سینتیک جذب از نوع شبه درجه دو است. درست است که غلظت بهینه جاذب کمی بالا بوده است ولی کلینوپتیلوالایت به عنوان یک جاذب طبیعی به صورت گسترده در دسترس بوده و نسبت بسیار ارزان است و می‌تواند برای حذف رنگ‌های بازیک از فاضلاب حاوی رنگ مورد استفاده قرار گیرد.

سپاسگزاری

این طرح تحقیقاتی با کد ۹۲-۱۸۸ معاونت پژوهشی دانشگاه علوم پزشکی و خدمات بهداشتی درمانی مازندران انجام گرفته است که بدین وسیله تشکر و قدردانی می‌شود.

با رسم منحنی‌های تعادلی مشخص شد که ایزوترم حاصل از این تحقیق با مدل ایزوترم لانگموئیر مطابقت دارد (با در نظر گرفتن ضریب همبستگی بالاتر). در مطالعه Qiu و همکاران (۲۰۰۹) نتایج نشان داد که مدل ایزوترم لانگموئیر ضریب همبستگی (R^2) بالاتری دارد (۲۹). همچنین Karadag و همکاران (۲۰۰۷) مدل‌های ایزوترم فروندلیچ و لانگموئیر محاسبه شد و نشان داد که هر دو مدل ضرایب همبستگی بالایی دارند (۲۴). علت تطبیق هر سه رنگ مورد آزمایش با ضریب همبستگی بالا با مدل لانگ موئیر را می‌توان به وجود حلقه‌های بنزنی در مولکول هر سه رنگ نسبت داد که موجب می‌گردد خصوصیات جذبی مشابهی از خود نشان دهند. همان‌طور که از داده‌های حاصل از بررسی سینتیک درجه یک و دو مشخص شد، داده‌های این تحقیق با سینتیک جذب شبه درجه دو مطابقت داشت (ضریب همبستگی بالاتر) که با دیگر مطالعات از جمله مطالعه Han و همکاران (۲۰۰۹) هم خوانی داشت (۲۹). همچنین مطالعه‌ای که توسط دیانتی تیلکی و همکاران در سال ۱۳۹۱ انجام شد از مدل سینتیک درجه دو تبعیت کرد (۱۶). در پایان می‌توان نتیجه گیری کرد که با توجه به

References

1. Solache RMJ, Villalva CR, Díaz NMC. Sorption and Desorption of Remazol Yellow by a Fe-Zeolitic Tuff. J Mex Chem Soc 2010; 54(1): 59-68.
2. Mahanta D, Madras G, Radhakrishnan S, Patil S. Adsorption of sulfonated dyes by polyaniline emeraldine salt and its kinetics. J Phys Chem B 2008; 112(33): 10153-10157.
3. Verma DK, Banik RM. Decolorization Of Triphenylmethane Dyes Using Immobilized Fungal Biomass. Int J Res 2013; 4: 1-12.
4. Vandevivere PC, Bianchi R, Verstraete W. Treatment and Reuse of Wastewater from the Textile Wet-Processing Industry: Review of Emerging Technologies. J Chem Technol Biotechnol 1998; 72: 289-302.
5. Churchley JH, Upton JE. Textile effluent colour removal in the UK-and the success of a full scale ozone facility designed to remove colour. Presented at W.E.F conference, October 3-6 1993, Anaheim, California.
6. Strickland AF, Perkins WS. Decolorization of continuous dyeing wastewater by ozonation. AATCC Rev 1995; 27(5): 11-15.
7. Robinson T, McMullan G, Marchant R, Nigam P. Remediation of dyes in textile effluent: a critical review on current treatment technologies with a proposed

- alternative Bioresour Technol 2001; 77(3): 247-255.
8. Han R, Wang Y, Zou W, Shi J. Comparison of linear and nonlinear analysis in the estimating the Thomas model parameters for methylene blue adsorption onto natural zeolite in fixed-bed colum. J Hazard Mate 2007; 145(1-2): 331-335.
9. Armagan B, Turn M, Elik MS. Equilibrium studies on the adsorption of reactive azo dyes into zeolite. Desalination 2004; 170(1): 33-39.
10. Sarioglu M. Removal of ammonium from municipal wastewater using natural Turkish (Dogantepe) zeolite. Separation and Purification Technology 2005; 41(1): 1-11.
11. Peric J, Trgo M, Vukojevic Medvidovic N. Removal of zinc, copper and lead by natural zeolite-a comparison of adsorption isotherms. Wat Res 2004; 38: 1893-1899.
12. Sharma P, Kaur H, Sharma M, Sahore V. A review on applicability of naturally available adsorbents for the removal of hazardous dyes from aqueous waste. Environ Monit Assess 2011; 183(1-4): 151-195.
13. Chompuchan C, Satapanajaru T, Suntornchot P, Pengthamkeerati P. Decolorization of Reactive Black 5 and Reactive Red 198 using nanoscale zerovalent iron. International Science Index 2009; 3(1): 94-98.
14. Opie J, Lee A, Frowen K, Fewings J, Nixon R. Foot dermatitis caused by the textile dye Basic Red 46 in acrylic blend socks. Contact Dermatitis 2003; 49(6): 297-303.
15. Borsa J, Pak S, Iijima T. Equilibrium sorption of C.I.Basic Red 18 by carboxymethyl cellulose membranes. Colloid Polym Sci 1985; 263(10): 842-846.
16. Dianati Tilaki RA, Kahe D, Zazouli MA. Efficiency of Zeolite Clinoptilolite in Removal of Ammoniumion from Polluted Water. J Mazandaran Univ Med Sci 2013; 22(97): 250-256 (Persian).
17. Kazemian H. Chemical analysis, characterization and determination of Ion-Exchange properties of Iranian natural zeolites. M.Sc. thesis Chem Dep Sci Fac Isfahan UN Iran (1993).
18. Nasiruddin Khan M, Sarwar A. Determination of points of zero charge of natural and treated adsorbents. Surface Review and Letters 2007; 14(3): 461-469.
19. Samarghandi MR, Sibeni M, Maleki A, Jaffari SJ, Nazemi F. Kinetic Determination and Efficiency of Titanium Dioxide Photocatalytic Process in Removal of Reactive Black 5 (RB5) Dye and Cyanide from Aquatic Solution. J Mazandaran Univ Med Sci 2011; 21(81): 44-52 (Persian).
20. Zazouli M, Yazdani Cherati J, Balarak D, Ebrahimi M, Mahdavi Y. Investigating the Removal Rate of Acid Blue 113 from Aqueous Solution by Canola (Brassica Napus). J Mazandaran Univ Med Sci 2013; 23(Suppl-2): 71-78 (Persian).
21. Pimonpan U, Petchporn Ch, Wiwattanadate D. Removal of lead by using Na-zeolite synthesized from spent silica-alumina. Applied Environmental Research 2012; 34(1).
22. Kosmulski M. PH-dependent surface charging and points of zero charge. IV. Update and new approach. J Colloid Interface Sci 2009; 337(2): 439-448.
23. Dong Y, Wu D, Chen X, Lin Y. Adsorption of BisPhenol A from water by surfactant-modified zeolite. J Colloid Interface Sci 2010; 348(2): 585-590.
24. Karadag D, Akgul E, Tok S, Erturk F, Kaya M, Turan M. Basic and Reactive dye Removal Using Natural and Modified Zeolites. J Chem Eng Data 2007; 52(6): 2463-2441.

25. Wang Sh, Zhu ZH. Characterization and environmental application of an Australian natural zeolite for basic dye removal from aqueous solution. *J Hazard Mater* 2006; 136(3): 946-952.
26. Karcher S, Kornmuller A, Jekel M. Screening of commercial sorbents for the removal of reactive dyes. *Dyes pigments* 2001; 51(2-3): 111-125.
27. Huddersman K, patruno V, Blache GJ, Dahm RH. Azo dyes encapsulated within aluminosilicate microporous materials. *J Soc Dyers Colourists* 1998; 114(5-6): 155-159.
28. Armagan B, Ozdemir O, Turan M, Celik MS. The removal of reactive azo dyes by natural and modified zeolites. *J Chem Tecnol Biotechnol* 2003; 78(7): 725-732.
29. Han R, Zhang J, Han P, Wang Y, Z Zhao, Tang M. Study of equilibrium, kinetic and thermodynamic parameters about methylene blue adsorption onto natural zeolite. *Chem Eng J* 2009; 145(3): 496-504.
30. Qui M, Qian Q, Xu J, WU J, Wang G. Studies on the adsorption of dyes into clinoptilolit. *Desalination* 2009; 243(1-3): 286-292.
31. Wang S, Li H, Xie S, Liu S, Xu L. Physical and chemical regeneration of zeolitic adsorbents for dye removal in wastewater treatment. *Chemosphere* 2006; 65(1): 82-87.